

اثر مؤلفه قائم زمین‌لرزه بر روی عرضه پل‌های پیش‌تنیده با ساخت طرهای در اندرکنش با رفتارهای تابع زمان مصالح

کارشناس ارشد سازه، دانشکده فنی، دانشگاه تهران

محمد رضا عبادالله‌زاده

استادیار دانشکده فنی، دانشگاه تهران

شهرخ مالک

استادیار دانشکده مهندسی عمران، دانشگاه تبریز

محمد حسین امین‌فر

چکیده

تأثیر مؤلفه قائم زمین‌لرزه در پل‌های احداث شده در حوزه نزدیک گسل‌ش و همچنین در پل‌های دارای عرضه‌های انعطاف‌پذیر غیر قابل صرف‌نظر کردن می‌باشد. به ویژه در پل‌های پیش‌تنیده طرمهای با توجه به ساخت و تکمیل مرحله‌ای این‌گونه پل‌ها و رفتار اندرکنشی خصوصیات وابسته به زمان مصالح، به ویژه پدیده خوش بتن که باعث توزیع دائم نیروهای داخلی و متغیر شدن تنش‌ها و تغییر مکان‌های مقاطع عرضه پل در طول زمان می‌شود، منجر به حساسیت رفتار عرضه پل به مؤلفه قائم زمین‌لرزه می‌گردد. در این مطالعه با استفاده از مدل ایجاد شده از یک پل پیش‌تنیده طرهای، به بررسی اثرات مؤلفه قائم شتاب زمین‌لرزه، بر روی شتاب، تغییر مکان و تنش‌های مقاطع مختلف تیر عرضه در فاصله‌های زمانی متفاوت از ساخت پل، با استفاده از تحلیل استاتیکی غیرخطی-دربرگیرنده آثار ساخت مرحله‌ای و تحلیل دینامیکی غیرخطی تاریخچه زمانی با شرایط اولیه متفاوت نیرویی و سختی، با توجه به متغیر بودن نیروهای داخلی و سختی در طول زمان، پرداخته شده است. متعاقباً، میزان آسیب‌پذیری عرضه‌هایی که از به هم پیوستن طرهای ایجاد گردیده‌اند، تحت تأثیر مؤلفه قائم شتاب زمین‌لرزه، مورد مطالعه قرار داده شده و توصیه‌های اصلاحی به منظور بهسازی لرزه‌ای این‌گونه پل‌ها ارائه گردیده است.

کلمات کلیدی: پل‌های پیش‌تنیده طرهای، مؤلفه قائم شتاب زمین‌لرزه، رفتارهای وابسته به زمان، تحلیل دینامیکی غیرخطی.

Behavior of Deck in Prestressed Cantilever Box-Girder Bridges Subjected to Vertical Ground Acceleration in the Interaction with the Time-Dependent Behaviour of Materials

M. Ebadollahzadeh

Faculty of Engineering, University of Tehran

S. Maalek

Faculty of Engineering, University of Tehran

M. H. Aminfar

Faculty of Civil Engineering, University of Tabriz

Abstract

Vertical component of earthquake effects on bridges constructed near field of fault, and bridge decks that are flexible cannot be neglected. Especially, prestressed cantilever bridges, with regard to construction and completion phase and interaction of time dependent behavior of materials, such as concrete creep, which causes redistribution of internal forces and variable shift of stress and displacements of the bridge deck over time, leads the bridge deck to be sensitive to the effects of the vertical component of the ground acceleration. To study seismic behavior of prestressed cantilever box-girder bridges, a case study was carried out on a three-span continuous prestressed box-girder bridge. A three dimensional finite-element model is used for modeling and analysis of the balanced cantilever construction of the segmental bridges, including the effects of the load history and material time-dependent behavior with the use of nonlinear static staged construction analysis and under the action of the vertical component seismic excitation by means of nonlinear time-history analysis. Finally vulnerability of the decks of the prestressed cantilever box-girder bridges was investigated and some suggestions have been made to improve the seismic behavior of the bridge decks.

Key words: Prestressed cantilever bridges, Vertical acceleration of earthquake, Time-dependent behavior, Nonlinear static analysis, Nonlinear dynamic analysis.

۱- مقدمه

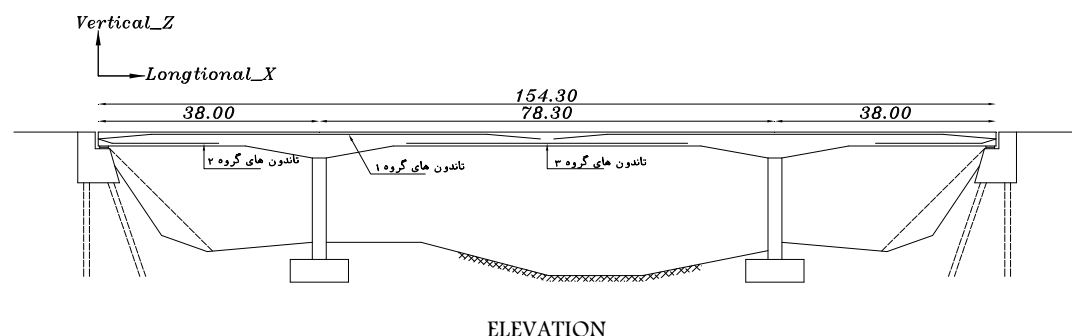
می باشد و لحاظ کردن آن در تحلیل ها و ضوابط طراحی ها ضروری به نظر می رسد. در ادامه می توان به تحقیق انجام شده در مرجع [۱۲] اشاره کرد که اثر حرکات قائم زمین لرزه را بر روی شش نوع از پل ها، مدل سازی و بررسی شده، و ضوابطی را برای درنظر گرفتن اثر حرکات قائم زمین لرزه در تحلیل و طراحی هر کدام از آن ها، توصیه گردیده است، که البته این مطالعه مربوط به پل هایی که در آن ها از سیستم اتلاف انرژی و جداگرهای لرزه ای استفاده شده است، می باشد.

در مقاله حاضر اثرات مؤلفه قائم شتاب زمین لرزه بر روی عرشه پل های پیش تبیه جعبه ای با روش ساخت طرها متعادل، با استفاده از مدل پل سه دهانه نشان داده شده در شکل (۱)، که در آن کلیه رفتارهای وابسته به زمان مصالح نیز، جهت ایجاد مدلی دقیق تر در نظر گرفته شده، مورد بررسی قرار گرفته است. در این پل ها بدليل شرایط ساخت مرحله ای، تغییر سیستم استاتیکی پل و اثر متقابل آن با رفتارهای وابسته به زمان مصالح، به ویژه خوش بتن، که باعث ایجاد تغییرات قابل ملاحظه در تنش ها و تغییر مکان ها در مقاطع مختلف عرشه پل در طول زمان می شود، عرشه پل را در مقابل نیروهای وارد حساس تر می کند و در این حال تاثیر مؤلفه قائم زمین لرزه که معمولاً تاکنون چندان مورد توجه قرار داده نشده است، بخصوص برای نسبت های بالای شتاب قائم به شتاب افقی زمین لرزه، بر روی عملکرد عرشه پل، قابل ملاحظه و تعیین کننده به نظر می رسد.

در طی یک زمین لرزه عمدتاً نیروهای اینرسی ناشی از مؤلفه های افقی شتاب زمین لرزه باعث خرابی سازه های متعارف می شوند و اغلب در طراحی سازه ها از نیروی اینرسی ناشی از مؤلفه قائم شتاب زمین لرزه صرف نظر می شود. مطالعات و مشاهدات اخیر نشان داده اند که اثر حرکات قائم زمین لرزه، به ویژه در پل ها بطور کامل قابل صرف نظر کردن نیست. همچنین خرابی هایی از پل ها، در اثر زمین لرزه های کalamata یونان (۱۹۸۶)، نورتربیج کالیفرنیا (۱۹۹۴) و کوبه ژاپن (۱۹۹۵) که عمدتاً تحت اثر حرکات قائم زمین لرزه، در یک حالت نسبت شتاب قائم به شتاب افقی بالا رخ داده بودند علاوه بر عوامل آثار دیگر، گزارش شده است.

در موارد لزوم در طراحی ها، اکثر شتاب قائم زمین لرزه را در حدود دو سوم مؤلفه های افقی شتاب، برای یک طیف یکسان در نظر می گیرند [۹]. هر چند نسبت حداکثر شتاب قائم به حداکثر شتاب افقی در برخی از زمین لرزه ها حتی بالاتر از ۱/۶ نیز ثبت شده است. در حالیکه در حالت های متعارف حدود ۰/۶۷ در نظر گرفته می شود [۱۰].

در ارتباط با مسئله اثر حرکات قائم زمین لرزه بر روی عرشه پل ها تحقیقات زیادی انجام نگرفته است. اما در این میان می توان به تحقیق گزارش شده در مرجع [۱۱] اشاره کرد که در آن رفتار پل های بتن آرمی تحت تحریک همزمان مؤلفه های افقی و قائم حرکات زمین لرزه بررسی شده است و نتیجه گیری گردیده که اثرات حرکات قائم زمین لرزه بر روی عملکرد پل ها بسیار مهم



شکل ۱- پل سه دهانه پیش تبیه جعبه ای

$$M \ddot{u}(t) + C \dot{u}(t) + Ku(t) = -M \ddot{u}_g(t) \quad (4)$$

که در آن $(t) u_g$ شتاب قائم زمین تحت اثر زمین لرزه و $(t) u$ و $(t) \ddot{u}$ به ترتیب بردارهای تغییرمکان قائم، سرعت و شتاب می‌باشد.

در میان روش‌های عددی انتگرال‌گیری مستقیم برای پاسخ‌های معادله (۴)، روش انتگرال‌گیری نیومارک یک روش مؤثر و با خطای کم شناخته شده است، که در آن شتاب بین زمان‌های t و $t+\Delta t$ بصورت خطی درنظر گرفته می‌شود. برای فاصله زمانی Δt روابط را بصورت زیر می‌توان نوشت:

$$\ddot{u}_{t+\Delta t} = \frac{1}{\alpha \Delta t^2} (u_{t+\Delta t} - u_t) - \frac{1}{\alpha \Delta t} \dot{u}_t - \left(\frac{1}{2\alpha} - 1 \right) \ddot{u}_t \quad (5a)$$

$$\dot{u}_{t+\Delta t} = \dot{u}_t + \Delta t (1 - \beta) \ddot{u}_t + \beta \cdot \Delta t \cdot u_{t+\Delta t} \quad (5b)$$

که در معادلات بالا α و β پارامترهایی برای کنترل دقت و پایداری انتگرال‌گیری‌ها می‌باشند. برای حالت شتاب ثابت متوسط، یعنی $\ddot{u}_{t+\Delta t} = \frac{1}{2} (\ddot{u}_t + \ddot{u}_{t+1})$ ، مقادیر $\alpha = \frac{1}{4}$ و $\beta = \frac{1}{2}$ بوده و در این حالت پایداری انتگرال‌گیری‌ها در پروسه تکراری تحلیل، به ازای هر مقدار Δt ، برقرار است. برای حالت شتاب خطی، یعنی، مقادیر $\alpha = \frac{1}{6}$ و $\beta = \frac{1}{2}$ در پروسه تکراری تحلیل مشروط به

$$\text{در پروسه تکراری تحلیل مشروط به } \frac{\Delta t}{T} \leq \frac{1}{\pi \sqrt{2}} \cdot \frac{1}{\sqrt{\beta - 2\alpha}}$$

یا مقدار $\frac{\Delta t}{T} \leq 0.551$ می‌باشد [۴].

معادلات (۵a) و (۵b) را می‌توان بصورت زیر نیز بازنویسی کرد:

$$\ddot{u}_{t+\Delta t} = \frac{1}{\alpha \Delta t^2} (u_{t+\Delta t} - u_t) - \frac{1}{\alpha \Delta t} \dot{u}_t - \left(\frac{1}{2\alpha} - 1 \right) \ddot{u}_t \quad (6a)$$

$$\dot{u}_{t+\Delta t} = \dot{u}_t + \Delta t (1 - \beta) \ddot{u}_t + \beta \cdot \Delta t \cdot u_{t+\Delta t} \quad (6b)$$

برای بدست آوردن تغییرمکان، سرعت و شتاب در زمان $t+\Delta t$ معادله (۶) بصورت زیر نوشتہ می‌شود:

-۲- مدل‌سازی پل

جهت بررسی اثرات مؤلفه قائم زمین لرزه بر روی عرشه پل‌های پیش‌تنیده طرهای، از تحلیل دینامیکی غیرخطی تاریچه زمانی، مدل پل سه دهانه نشان داده شده در شکل (۱) استفاده شده است.

در ادامه با استفاده از تحلیل ماتریسی سازه‌ها و روابط بین نیروها و تغییرمکان‌ها، و معادله دیفرانسیلی حاکم بر حرکت دینامیکی سازه به تشریح روند تحلیل پل مدل شده پرداخته شده است [۷]. اگر K ماتریس سختی سازه، M ماتریس جرم سازه، F نیروهای وارد بر سازه و Δ تغییرمکان سازه باشد، رابطه بین نیرو و تغییرمکان بصورت رابطه $F = K \cdot \Delta$ بوده و در حالت

ماتریسی بصورت زیر بیان می‌شود:

$$\begin{bmatrix} k_{vv} & k_{v\theta} \\ k_{\theta v} & k_{\theta\theta} \end{bmatrix} \begin{Bmatrix} v \\ \theta \end{Bmatrix} = \begin{Bmatrix} F_v \\ F_\theta \end{Bmatrix} \quad (1)$$

که در آن v, θ به ترتیب نمایشگر بردارهای انتقال و دوران می‌باشند. اگر F_θ که همان مؤلفه دورانی زمین لرزه است قابل صرف‌نظر کردن باشد، در این صورت در رابطه (۱)، $F_\theta = 0$ بوده و $\theta = -k_{\theta\theta}^{-1} \cdot k_{\theta v} \cdot v$. با جاگذاری در رابطه (۱) خواهیم داشت:

$$(k_{vv} - k_{v\theta} \cdot k_{\theta\theta}^{-1} \cdot k_{\theta v})v = F_v \quad \text{or} \quad K \cdot v = F_v \quad (2)$$

که در آن $K = k_{vv} - k_{v\theta} \cdot k_{\theta\theta}^{-1} \cdot k_{\theta v}$ ، ماتریس سختی انتقالی می‌باشد. و فقط آن دسته از درجات آزادی که مربوط به انتقال می‌باشند، باقی‌مانده و بنابراین ماتریس متراکم شده (تلخیص یافته) و برای استفاده با ماتریس قطری جرم M ، همساز می‌شود.

ماتریس میرایی سیستم بصورت زیر می‌باشد:

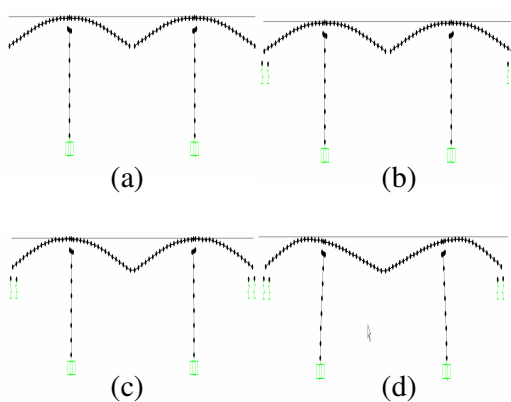
$$C = \left(M \phi \left[\phi^T M \phi \right]^{-1} \right) C_m \left(\left[\phi^T M \phi \right]^{-1} \phi^T M \right) \quad (3)$$

و معادله حرکت دینامیکی سیستم بصورت زیر بیان می‌شود:

طراهای، از تحلیل غیرخطی استاتیکی ساخت مرحله‌ای که در برگیرنده شرایط ساخت مرحله‌ای و اثرات رفتارهای وابسته به زمان مصالح می‌باشد، استفاده شده است.

۳- تشریح مشخصات پل مدل شده

جهت بررسی اثر مؤلفه قائم زمین لرزه بر روی عرضه پل‌های پیش‌تئید طراهای با منظور داشتن کلیه موارد و مسائل مربوط به این گونه پل‌ها، اعم از ساخت مرحله‌ای، رفتارهای وابسته به زمان مصالح مصرفی و افت در نیروهای پیش‌تئیدگی، از مدل پل سه دهانه نشان داده شده در شکل (۱) استفاده شده است (شکل (۲) و (۳)). عرضه پل به صورت تیر جعبه‌ای قطعه‌ای با ارتفاع متغیر و همچنین ضخامت متغیر برای دال پایینی در نزدیکی تکیه‌گاههای میانی می‌باشد. طول قطعات عرضه ۲/۳۰ متر بوده و به صورت طراهای متعادل از پایه‌های میانی اجرا می‌گرددند و در وسط دهانه به هم می‌رسند. در کناره‌ها نیز در تکیه‌گاهها، مهار شونده. مقطع عمومی پل با مدول مقطع 3272790 cm^3 و مقطع پل روی تکیه‌گاههای میانی با مدول مقطع 12491101 cm^3 می‌باشد. در مدل انتخابی برای در نظر گرفتن رفتار وابسته به زمان بتن، رطوبت نسبی محیط را برابر 80% و زمان شروع جمع‌شدگی را از روز اول ساخت، فرض می‌کنیم. سیمان مصرفی را از نوع معمولی و زود سخت‌شونده (N,R)، با $\beta_{sc}=5$ و همچنین مقدار ارتفاع تغوریک h_0 را برابر 450 میلیمتر نظر می‌گیریم [۳].



شکل ۲- مراحل ساخت و تکمیل پل

$$M \ddot{u}_{t+\Delta t} + C \dot{u}_{t+\Delta t} + K u_{t+\Delta t} = -M (\ddot{u}_g)_{t+\Delta t} \quad (7)$$

با جاگذاری معادلات (۶a) و (۶b) در معادله (۷)، یک معادله خطی بر حسب $\ddot{u}_{t+\Delta t}$ در هر گام زمانی مطابق روابط نشان داده شده در زیر بدست می‌آید:

$$\bar{K} \cdot u_{t+\Delta t} = \bar{P}_{t+\Delta t} \quad (8)$$

$$\bar{K} = K + \frac{1}{\alpha \cdot \Delta t^2} M + \frac{\beta}{\alpha \cdot \Delta t} C_m$$

$$\bar{P}_{t+\Delta t} = -M \left(\ddot{u}_g \right)_{t+\Delta t} + M \cdot a_m + C \cdot a_c$$

$$a_m = \frac{1}{\alpha \cdot \Delta t^2} u_t + \frac{1}{\alpha \cdot \Delta t} \dot{u}_t + \left(\frac{1}{2\alpha} - 1 \right) \ddot{u}_t$$

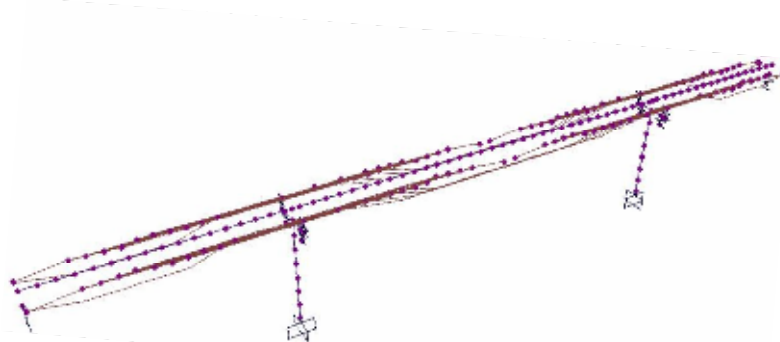
$$a_c = \frac{\beta}{\alpha \cdot \Delta t} u_t + \left(\frac{\beta}{\alpha} - 1 \right) \dot{u}_t + \Delta t \left(\frac{\beta}{2\alpha} - 1 \right) \ddot{u}_t$$

بعد از بدست آوردن $u_{t+\Delta t}$ از معادله (۸)، $\dot{u}_{t+\Delta t}$ و $\ddot{u}_{t+\Delta t}$ به ترتیب از معادلات (۶a)، (۶b) بدست می‌آیند. برای سرشکن کردن خطاهای در هر مرحله می‌توان مقدار $\ddot{u}_{t+\Delta t}$ را از معادله (۷) بدست آورد. با تکرار روند فوق، مقدادر تغییرمکان، سرعت و شتاب در کل بازه زمانی تعیین شده بدست می‌آید.

در این مطالعه از روش $\alpha = \frac{1}{4}$ ، $\beta = \frac{1}{2}$ ، نیومارک استفاده شده که مطابق با روش Hilber-Hughes-Taylor، $\alpha = 0$ ، $\beta = 0$ می‌باشد، که در این حالت دارای بیشترین دقیقت می‌باشد [۵].

جهت تخمین رفتار و عملکرد سازه تحت اثر رفتارهای وابسته به زمان مصالح نیز مدل‌های متعددی وجود دارد، که از آن جمله می‌توان به مدل آیین‌نامه ۲۰۹ ACI، مدل آیین‌نامه CEB90 و مدل‌های B3 و GL2000 مطابق [۸]، اشاره نمود. مطالعات تحقیقات و نتایج آزمایشگاهی مدل آیین‌نامه CEB90 نسبت به سایر مدل‌های موجود جهت تخمین کرنش‌های ناشی از جمع شدگی و خزش بتن، دارای نتایج واقع بینانه‌تری می‌باشد [۱۳].

در مطالعه حاضر نیز از مدل آیین‌نامه CEB90 استفاده شده است [۳]. و برای در نظر گرفتن روابط تعیین شده در این مدل و همچنین اعمال شرایط و مراحل ساخت پل‌های پیش‌تئیده



شکل ۳- نمای سه بعدی پل مدل سازی شده

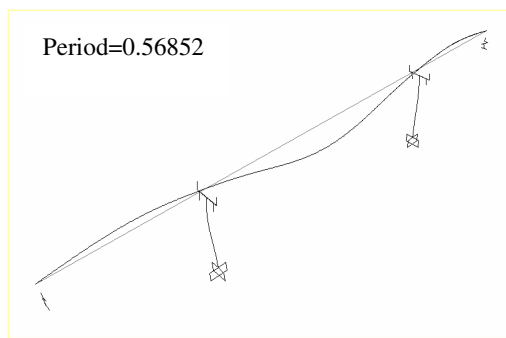
و تنش‌ها در کلیه مقاطع عرضه کنترل شده و در محدوده مجاز می‌باشد (مقادیر تنش‌ها و تغییر مکان‌ها بعداً جهت مقایسه ارائه خواهد شد).

تندون‌ها را از نوع مفتول با سستی کم و جهت محاسبه افت تنش در تاندون‌های پیش‌تییدگی، مقادیر تورفتگی گیره و ضرابب اعوجاج (k) و انحنا (l) را به ترتیب برابر $1/\text{mm}$, 5 mm , 3.3×10^{-6} و 15° در نظر می‌گیریم [۲].

۴- بررسی پاسخ قائم پل

در زمرة نرم افزارهایی که دارای شرایط کامل و دقیقی جهت مدل سازی و تحلیل پل‌های بتی پیش‌تییده طرها می‌باشد می‌توان به نرم افزار SAP2000.v10 اشاره نمود.

پل نشان داده شده در شکل (۱)، توسط این نرم افزار مدل سازی شده و سپس تحت شرایط بارگذاری و مشخصات مصالح ذکر شده، تحت مؤلفه قائم شتاب زمین لرزه استنترو، روند تغییرات شتاب، تغییر مکان و تنش را در طول گام‌های زمانی ذکر شده، در وسط دهانه میانی و روی تکیه‌گاه میانی بررسی شده است. در پل مدل شده، فرکانس اولین مد طبیعی ارتعاش سازه در جهت قائم برابر $1/76$ هرتز می‌باشد (شکل (۴))، که تحت مؤلفه قائم شتاب زمین لرزه استنترو با ماکریزم شتاب $g/21$ ، قرار گرفته است (شکل (۵)).



شکل ۴- اولین مد ارتعاش طبیعی سازه در جهت قائم

در این مدل سازی، مدت زمان ساخت عرضه در حالت طرها، ۲۵ روز در نظر گرفته شده است. سپس تکیه‌گاه‌های کناری ایجاد و نیروی تاندون‌های گروه ۲ اعمال می‌شود، در ادامه قطعه کلید در انتهای طرها در وسط دهانه میانی ایجاد و نیروی تاندون‌های گروه ۳ اعمال شده، و سازه پیوسته می‌شود [۱، ۶]. سپس سربار روسازی کف عرضه به میزان 10% وزن قطعات تیر عرضه به سازه پیوسته اعمال می‌شود.

بعد از این مرحله عملکرد عرضه به مدت ۳۵ سال تحت تأثیر رفتارهای وابسته به زمان مصالح، و اعمال مؤلفه قائم شتاب زمین لرزه در مقاطع زمانی،

(۱) پس از اتمام عرضه طرها یا ۲۵ روز از شروع ساخت

(۲) پس از اتمام عرضه‌ها بصورت طرها و پیوسته‌سازی عرضه‌ها و ایجاد تکیه‌گاه‌های کناری و اعمال سربار روسازی، یا ۳۵ روز از شروع ساخت

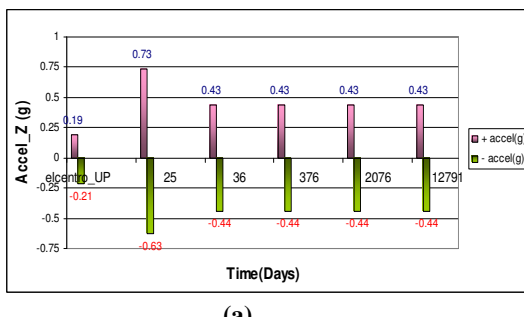
(۳) پس از گذشت مدت زمان یک سال از ساخت پل

(۴) پس از گذشت مدت زمان پنج سال از ساخت پل و در نهایت،

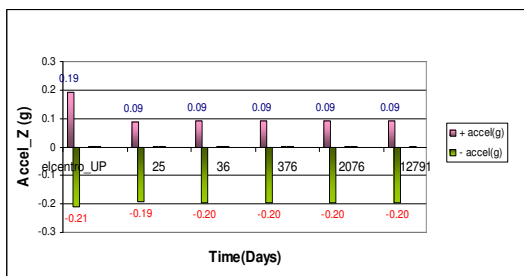
(۵) پس از گذشت مدت زمان ۳۵ سال از ساخت پل، بررسی شده است.

در مدل پل در نظر گرفته شده، با دهانه مشخص شده در شکل

(۱) و مشخصات عرضه و مصالح و بارگذاری مرده ذکر شده در بالا و بازنده گسترده مطابق AASHTO HS20-44، تغییر مکان‌ها

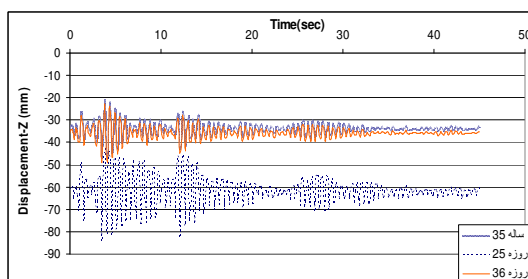


(a)

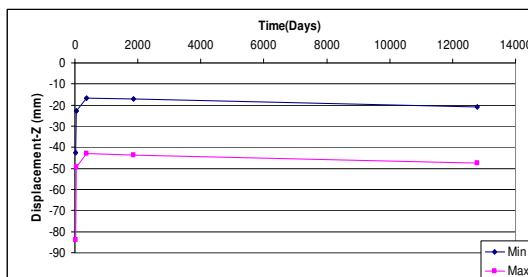


(b)

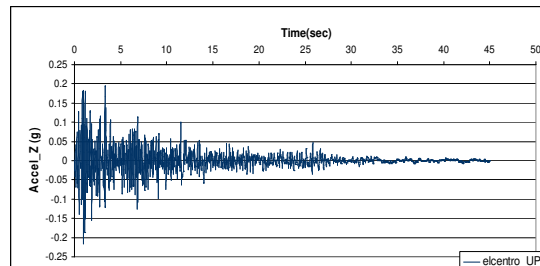
شکل ۶- مقادیر ماکزیمم شتاب ایجاد شده در عرشه پل مدل شده تحت شتاب زمین لرزه السنترو در گام‌های زمانی مختلف در (a) وسط دهانه میانی (b) روی تکیه‌گاه میانی



شکل ۷- تاریخچه تغییر مکان ایجاد شده در وسط دهانه میانی، تحت شتاب زمین لرزه السنترو در گام‌های زمانی مختلف



شکل ۸- دامنه تغییرات تغییرمکان ایجاد شده در وسط دهانه میانی، تحت شتاب زمین لرزه السنترو



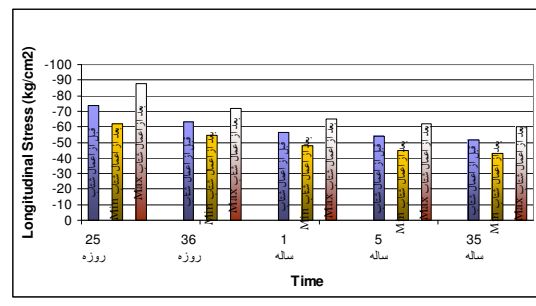
شکل ۵- مؤلفه قائم شتاب زمین لرزه السنترو

در نمودار شکل (۶-۳)، مقادیر شتاب در وسط دهانه میانی و در گام‌های زمانی ذکر شده مشاهده می‌شود. قبل توجه است که ماکزیمم شتاب ایجاد شده در وسط دهانه میانی در حالت طرہای برابر $g/73$. بوده و پس از پیوستگی و یکپارچه شدن عرضه این مقدار به $g/44$. می‌رسد که این مقدار شتاب نیز تقریباً دو برابر شتاب اعمالی می‌باشد. نقطه قابل توجه دیگر این است که تأثیر تغییرات سختی ایجاد شده در عرشه در طول زمان، تحت اثر رفتارهای تابع زمان مصالح، که در هر گام زمانی به عنوان شرایط اولیه تحلیل دینامیکی و اعمال شتاب قائم زمین لرزه قرار گرفته‌اند، بر روی شتاب ایجاد شده ناچیز بوده و قابل صرف‌نظر کردن می‌باشد (در حد چند صدم درصد). همچنین مشاهده می‌کنیم که در روی تکیه‌گاه میانی ماکزیمم شتاب ایجاد شده برابر $g/2$. می‌باشد. که تقریباً برابر شتاب اعمالی می‌باشد (شکل ۶-۴). تاریخچه تغییرمکان‌های ایجاد شده در وسط دهانه میانی در گام‌های زمانی مختلف و در طول مدت زمان اعمال مؤلفه قائم شتاب زمین لرزه در شکل (۷) و (۸)، ارائه شده است. مشاهده می‌شود که ماکزیمم دامنه تغییرات تغییرمکان، تحت اعمال مؤلفه قائم شتاب نسبت به حالت قبل از اعمال شتاب، در وسط دهانه میانی و در حالت طرہای به مقدار 20 mm می‌باشد. در حالی که این مقدار پس از پیوستگی و یکپارچه شدن عرشه، در می‌باشد. مقادیر تغییرمکان در روی تکیه‌گاه میانی تقریباً 13 mm صفر می‌باشد.

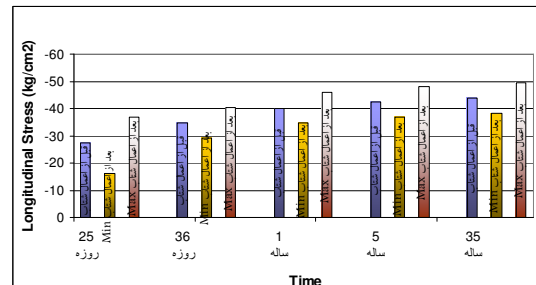
در ادامه به بررسی تغییرات مقادیر تنش در وسط دهانه میانی و روی تکیه‌گاه میانی پرداخته شده است. با توجه به شرایط ساخت و رفتارهای وابسته به زمان مصالح، مقادیر تنش در تمامی مقاطع عرضه در طول زمان در حال تغییر می‌باشد، بنابر این وقوع زمین لرزه در زمان‌های مختلف اثرات مختلفی را از لحاظ مقادیر تنش، بر روی عرشه پل خواهد گذاشت.

روند تغییرات تنش در گام‌های زمانی مختلف، در ابتدای دهانه میانی با همان روی تکیه‌گاه میانی نیز مطابق شکل (۱۰) می‌باشد. مشاهده می‌کنیم در این مقطع از عرضه پل، در صورت یک طراحی مناسب برای بارهای ناشی از وزن عرضه، روسازی و بار ترافیک، تنش‌ها در اثر اعمال مؤلفه قائم شتاب زمین‌لرزه در یک بازه مناسبی قرار گرفته و مشکل خاصی ایجاد نخواهد شد. مسئله دیگری که در این میان ممکن است حائز اهمیت باشد، مسئله اثر حرکات قائم زمین‌لرزه بر روی مقادیر برش، در مقاطع نزدیک تکیه‌گاه‌های میانی است. مطابق آنچه که در شکل (۱۱) نیز دیده می‌شود اثر مؤلفه قائم شتاب زمین‌لرزه‌ای با مشخصات ذکر شده در بالا، روی تغییرات مقدار برش مقطعی از تیر عرضه، در محل پایه‌های میانی، تقریباً به میزان ۱۲٪ می‌باشد که این مقدار برای زمین‌لرزه‌های با نسبت شتاب مؤلفه قائم بیشتر و همچنین برای پل‌های با دهانه‌های طویل‌تر مقدار قابل ملاحظه‌ای خواهد بود.

در شکل (۹) مقادیر تنش در وسط دهانه میانی و در گام‌های زمانی مختلف در سه حالت، قبل از اعمال مؤلفه قائم شتاب زمین‌لرزه و بعد از اعمال شتاب در دو حالت حداقل و حداکثر، بطور جداگانه در تار بالا و پایین مقطع، نشان داده شده است. در شکل (۹) هم می‌توان روند تغییرات تنش در اثر رفتارهای تابع زمان مصالح و هم اثر اعمال مؤلفه شتاب قائم زمین‌لرزه را بر روی تنش‌های موجود در مقطع در وسط دهانه میانی از مشاهده نمود. تنش تار پایین مقطع در گام‌های زمانی مختلف مقدار $46/4 \text{ kg/cm}^2$ فشاری در روز ۳۶ آم (پس از پیوستگی و اعمال بار روسازی)، تحت تأثیر رفتارهای تابع زمان مصالح، بخصوص خزش بتون، به مقدار $15/5 \text{ Kg/cm}^2$ فشاری پس از مدت زمان ۵ سال رسیده، که این مقدار تنش فشاری نیز تحت تأثیر مؤلفه شتاب قائم زمین‌لرزه استرتو با ماکزیمم شتاب $0/21 \text{ g}$ ، به تنش کششی 6 Kg/cm^2 تبدیل شده است. و اگر همین شتاب پس از مدت زمان ۳۵ سال به پل مدل شده اعمال گردد مقدار تنش کششی ایجاد شده در تار پایین مقطع به $12/5 \text{ Kg/cm}^2$ خواهد رسید.

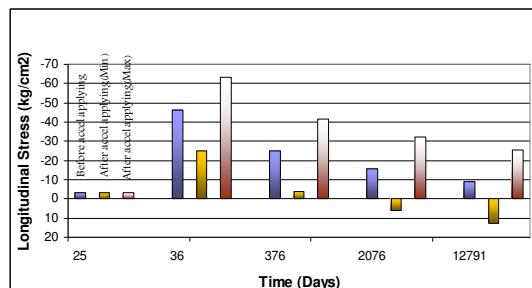


(a)

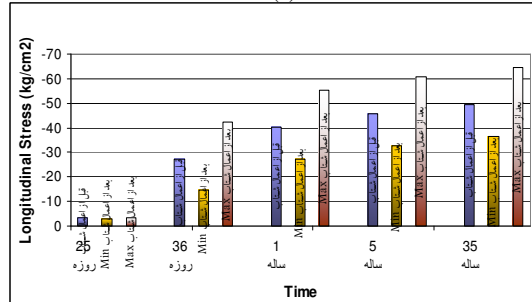


(b)

شکل ۱۰- تغییرات تنش در تیر عرضه در محل تکیه‌گاه میانی، در گام‌های زمانی مختلف، تحت تأثیر رفتار تابع زمان مصالح و مؤلفه قائم شتاب زمین‌لرزه استرتو (a) تغییرات تنش در تار پایین مقطع (b) تغییرات تنش در تار بالای مقطع



(a)



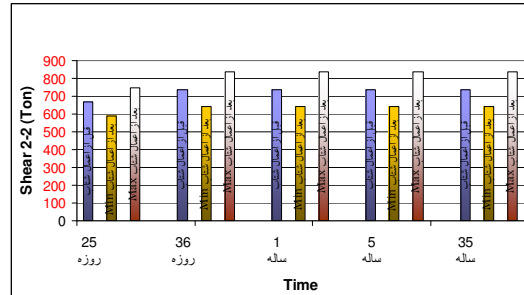
(b)

شکل ۹- تغییرات تنش در وسط دهانه میانی، در گام‌های زمانی مختلف، تحت تأثیر رفتار تابع زمان مصالح و مؤلفه قائم شتاب زمین‌لرزه استرتو (a) تغییرات تنش در تار پایین مقطع (b) تغییرات تنش در تار بالای مقطع

این گروه تاندون‌های پیوستگی می‌تواند بوسیله پیش‌تینیدگی خارجی، به منظور بهسازی لزرهای برای پل‌های پیش‌تینید طرهای که در آن‌ها اثر حرکات قائم زمین‌لرزه ملاحظه نشده است، انجام گیرد.

مراجع

- [۱] طاحونی، شاپور؛ طراحی پل (پل‌های بتن مسلح، فولادی و پیش‌تینیده)، انتشارات دانشگاه تهران، ویرایش دوم، ۱۳۸۳.
- [2] American Association of State Highway and Transportation Officials (AASHTO), Standard Specifications for Highway Bridges, 16th Edition, Washington, D. C. 1996.
- [3] CEB-FIP Model Code; Evaluation of the Time Dependent Behavior of Concrete, September, 1990.
- [4] Clough, R.W., and Penzien, J.; Dynamics of Structures, 2nd Edition, McGraw-Hill, 1993.
- [5] CSI Analysis Reference for Sap 2000; Direct-Integration Time History Analysis, Computer and Structures, Inc, Berkeley, California, USA, 2005.
- [6] Sauvageot, G.; Bridge Engineering Handbook Segmental Concrete Bridges.), chapter 11, Ed: Wai-Fah Chen and Lian Duan, Boca Raton: CRC Press, 2000.
- [7] Weaver, W., and Gere, J.M.; Matrix Analysis of Framed Structures. Third Edition, Van Nostrand Reinhold, New York, 1990.
- [8] Vincent, E.C.; "Compressive Creep of a Lightweight, High Strength Concrete Mixture.", Thesis presented to the faculty of the Virginia Polytechnic Institute and State University In partial fulfillment of the requirements for the degree of Master of Science in Civil Engineering, USA, 2003.
- [9] Parvin, A. and Ma, Z.; "The use of helical spring and fluid damper isolation systems for bridge structures subjected to vertical ground acceleration.", Electronic Journal of Structural Engineering, EJSE, Vol. 1, No. 2, p.p. 98-110, 2001.
- [10] Papazoglou, A.J., and Elnashai, A.S.; "Analytical and Field Evidence of the Damaging Effect of Vertical Earthquake Ground Motion.", Earthquake Engineering



شکل ۱۱- تغییرات مقدار برش در تیر عرضه در محل تکیه‌گاه میانی، در گام‌های زمانی مختلف، تحت تأثیر رفتار تابع زمان مصالح و مؤلفه قائم شتاب زمین‌لرزه السنتر

۵- نتیجه‌گیری

تغییرات دائمی تنش‌ها و تغییر مکان‌های عرضه پل در پل‌های پیش‌تینیده طرهای، تحت تأثیر رفتارهای وابسته به زمان مصالح، رفتار عرضه این گونه پل‌ها را در مقابل کلیه بارهای قائم وارد حساس کرده است که نمونه‌ای از آن که اکثرًا در طراحی‌ها نیز لحاظ نمی‌شود اثر حرکات قائم زمین‌لرزه‌ها می‌باشد. همان‌طور که مشاهده گردید در دهانه میانی پل یا در حالت کلی دهانه‌هایی که از بهم پیوستن طرهای از دو طرف ایجاد می‌گردند، و به ویژه در مقاطع میانی این دهانه‌ها که بیشتر تحت تأثیر رفتارهای وابسته به زمان مصالح، واقع می‌گردند، مسئله تأثیر حرکات قائم زمین‌لرزه حتی در مقادیر کم این حرکات، قابل ملاحظه بوده و منجر به ایجاد مقادیر زیاد تنش کششی گردیده که آن هم مسائل متعاقب خود را به دنبال خواهد داشت. برای جلوگیری از تأثیر زیاد حرکات قائم زمین‌لرزه بر روی عرضه پل‌ها در حالت کلی می‌توان از سیستم‌های اتلاف انرژی که در جهت مولفه قائم نیروها عمل می‌کنند استفاده نمود. علاوه بر این در پل‌های پیش‌تینیده طرهای می‌توان بوسیله طراحی و کنترل تاندون‌های پیوستگی دهانه میانی (تاندون‌های گروه ۳ نشان داده شده در شکل (۱)) برای مقادیر شتاب مؤلفه قائم معلوم، همزمان با مسئله رفتارهای وابسته به زمان مصالح، عملکرد عرضه را در مقابل نیروهای قائم وارد بخشد. همچنین این گروه تاندون‌ها علاوه بر تأثیر بر تنش‌های وسط دهانه میانی، باعث تعديل مقادیر تنش در کل عرضه گردیده و رفتار کل عرضه را در مقابل نیروهای قائم وارد اصلاح می‌کند، که این تنظیم مقدار

- Engineering Research Report 99-0007, State University of New York at Buffalo, Buffalo, NY, 1999.
- [13] Vincent, E.C., Townsend, B.D, Weyers, R.E.; "FINAL CONTRACT REPORT CREEP OF HIGH-STRENGTH NORMAL AND LIGHTWEIGHT CONCRETE", Virginia Transportation Research Council, Charlottesville, Virginia, USA, 2004..
- [11] and Structural Dynamics, Vol. 25, p.p. 1109-1137, 1996.
Saadeghvaziri, M., and Foutch, D.A.; "Dynamic Behavior of R/C Highway Bridges Under the Combined Effect of Vertical and Horizontal Earthquake Motions.", Earthquake Engineering and Structural Dynamics, Vol. 20, p.p. 535-549, 1991.
- [12] Button, M.R. Cronin, C.J., and Mayes, R.L.; "Effect of Vertical Ground Motions on the Structural Response of Highway Bridges", Multidisciplinary Center for Earthquake